

Machines à Courant Continu

1^e/ Description de la Machine :-

Une machine bipolaire comporte :

1- Une paire de pôles inducteurs "f" générant de l'entrefer une induction fixe dans l'espace et dont l'axe magnétique est suivant l'axe directe "Oy".

2- L'induit contient un enroulement

pseudo-stationnaire et dont l'axe magnétique est suivant l'axe en quadrature "Oq".

3- Un enroulement de Compensateur "C" et de Commutateur "aux" placés sur le stator et dont l'axe magnétique est suivant "Oq".

2^e/ Hypothèses Simplificatrices :-

1^e/ La saturation du circuit magnétique

est négligée et qui permet l'additivité des flux

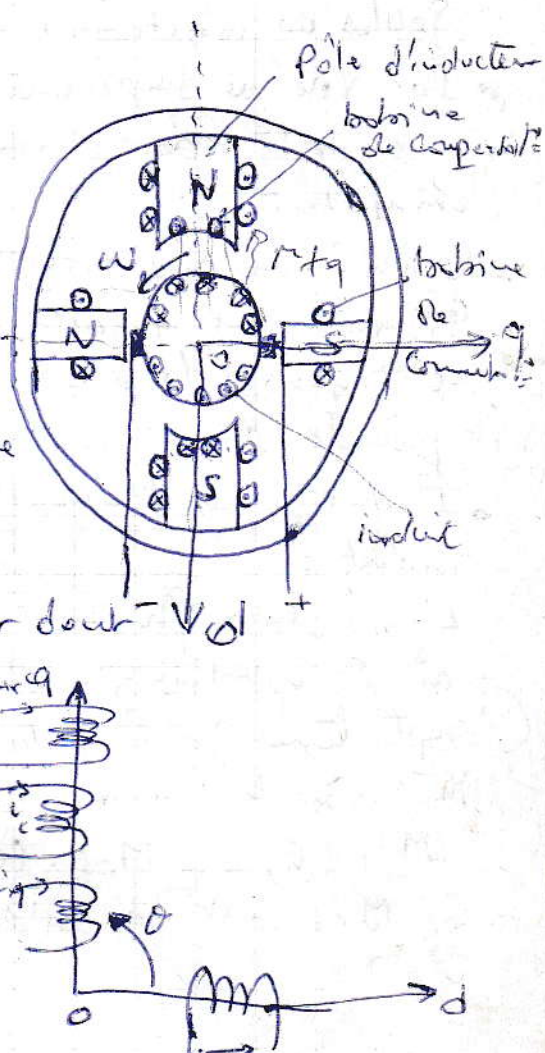
2^e/ Le circuit magnétique est parfaitement

feuilleté, d'où on néglige les pertes par hystérésis et courants de Foucault.

3^e/ Les résistances ne varient pas avec la température et l'effet de Peau est négligé (densité du courant en C_{st}).

4^e/ Les inductances propres sont C_{st}² et les inductances mutuelles entre stator et rotor varient suivant une loi sinusoidale en fonction de l'angle électrique de leurs axes magnétiques.

5^e/ On considère le cois (Moteur).



- L'étude des régimes transitoires implique la connaissance des inductances de la machine, alors qu'en régime permanent Seules les résistances jouent un rôle.
- Par voie de simplicité, considérons le cas d'une machine bipolaire à excitation séparée non compensée et pour enroulements de commutateurs.
- Considérons provisoirement que les balais tournent avec le rotor, ce qui revient à faire tourner l'axe magnétique de l'enroulement rotorique à la vitesse $\omega = p\omega_r$, bien qu'en réalité, l'enroulement est pseudo-stationnaire.
- Inductance mutuelle entre induiteur et induit:

L'inductance mutuelle $M_{rf}(0)$ varie avec θ ,

où θ est l'angle électrique.

Compte tenu de la polarité des balais, l'inductance mutuelle se met sous la forme:

$$M_{rf}(\theta) = -M_{rf} \cdot \cos \theta.$$

où M_{rf} est la valeur maximale de l'inductance mutuelle pour $\theta = \pi$.

Considérons le cas de la machine réelle, et où les balais sont collés sur l'axe intermédiaire.

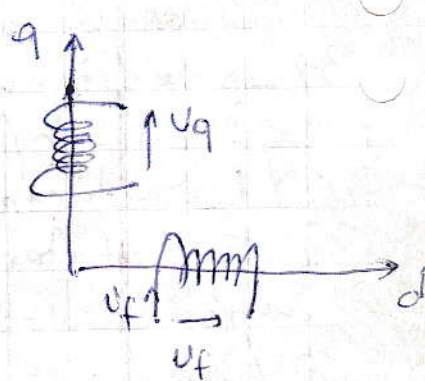
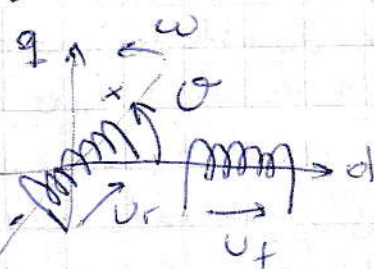
L'inducteur "f" crée un flux totalisé:

$$\phi_f = \phi_{sf} + \phi_d$$

ϕ_d : flux mutuel créé par l'inducteur dans l'induit au Mst et dont l'axe est en quadrature.

Mik en équations: (Lois de Kirchoff)

$$\begin{cases} U_f = R_f i_f + \frac{d\phi_f}{dt} \\ U_q = R_q i_q + \frac{d\phi_q}{dt} \end{cases} \quad \dots \quad (1)$$



on :-

$$\phi_f = L_f i_f + M_{fq} i_q$$

$$\phi_{q_f} = L_q i_q + M_{qf} i_f$$

L_f et L_q inductances propres. R_f et R_q : résistances d'inducteur

M_{fq} et M_{qf} : inductances mutuelles entre le duit et inducteur.

On démontre que :

$$M_{fq} = 0$$

d'où le système sera :-

$$\left\{ \begin{array}{l} V_f = R_f i_f + L_f \frac{di_f}{dt} \end{array} \right.$$

$$\left\{ \begin{array}{l} V_q = R_q i_q + L_q \frac{di_q}{dt} + M_{qf}(0) i_f \end{array} \right.$$

$$\Leftrightarrow \left\{ \begin{array}{l} V_f = R_f i_f + L_f \frac{di_f}{dt} \\ V_q = R_q i_q + L_q \frac{di_q}{dt} + i_f \cdot \frac{dM_{qf}(0)}{d\theta} \cdot \frac{d\theta}{dt} \end{array} \right.$$

$$\left\{ \begin{array}{l} V_q = R_q i_q + L_q \frac{di_q}{dt} + i_f \cdot \frac{dM_{qf}(0)}{d\theta} \cdot \frac{d\theta}{dt} \end{array} \right.$$

on obtient alors :-

$$V_q = R_q i_q + L_q \frac{di_q}{dt} + \omega i_f \frac{dM_{qf}(0)}{d\theta}$$

$$\text{Pour } \theta = \frac{\pi}{2}$$

$$\left. \frac{dM_{qf}(0)}{d\theta} \right|_{\theta=\pi/2} = M_{qf}$$

\Rightarrow

$$V_q = R_q i_q + L_q \frac{di_q}{dt} + M_{qf} \cdot i_f \cdot \omega$$

on :

$$M_{qf} \cdot i_f = \phi_d$$

on aura finalement :-

$$\left\{ \begin{array}{l} V_f(t) = R_f i_f(t) + L_f \frac{di_f}{dt}(t) \end{array} \right.$$

$$\left\{ \begin{array}{l} V_q(t) = R_q i_q(t) + L_q \frac{di_q}{dt}(t) + M_{qf} \cdot i_f(t) \cdot \omega(t) \end{array} \right.$$

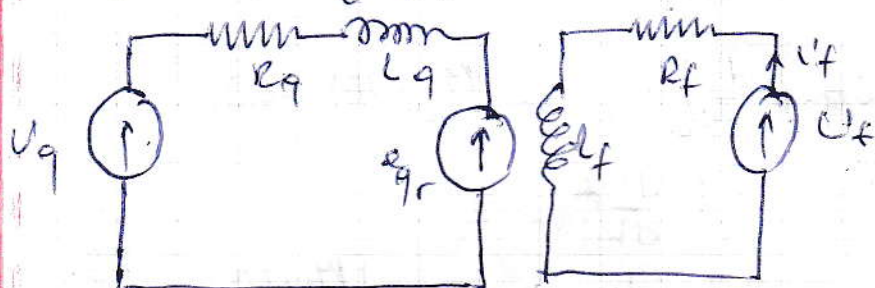
qui correspond au modèle de la machine à courant continu.

$\frac{e_f}{f} = \frac{L_f d i_f}{d t}$: tension de transformation aux bornes de l'inducteur "f".

$e_{q_f} = L_q \frac{d i_q}{d t}$: tension de transformation aux bornes de l'induit "q".

$e_{q_f} = w_m \phi_d$: tension de rotation aux bornes de l'induit "q"
en V_b (fem de la machine).

- On tire le schéma équivalent :-



- Équation du mouvement :-

$$Ce - Cr = J \frac{d\omega}{dt} + f \omega$$

J : moment d'inertie du groupe (moteur + charge)

Ce : couple électromagnétique

Cr : couple résistant.

- Couple électromagnétique :-

La puissance électrique instantanée absorbée est :-

$$P(t) = U_q i_q + U_f i_f$$

L'énergie absorbée par le moteur pendant un intervalle de temps dt est :-

$$dW = P(t) dt$$

$$= (R_q i_q^2 + R_f i_f^2) dt + \left(L_q \frac{d i_q}{d t} \cdot i_q + L_f \frac{d i_f}{d t} \cdot i_f \right) dt +$$

$$w_m \phi_d \cdot i_q dt$$

(3)

7'

1 : l'énergie perdue par effet Joule.

2 : Variation de l'énergie magnétique emmagasinée.

3% L'énergie Electromagnétique.

- Le couple électromagnétique est par définition :-

$$C_e = \frac{dWe}{d\theta} = \frac{Pe}{J} = \frac{W \cdot M_{qf} \cdot i_f \cdot i_q}{J} = M_{qf} \cdot i_f \cdot i_q$$

Donc, le modèle de la machine à Courant Continu sera finalement :

$$\left\{ \begin{array}{l} U_f = R_f \cdot i_f + L_f \frac{di_f}{dt} \end{array} \right.$$

$$\left\{ \begin{array}{l} U_q = R_q \cdot i_q + L_q \frac{di_q}{dt} + M_{qf} \cdot i_f \cdot w \quad \text{--- (2)} \end{array} \right.$$

$$M_{qf} \cdot i_f \cdot i_q - C_r = J \frac{dw}{dt} + f \cdot w$$

• Régimes transitoires des machines à Courant Continu :-

~~Examinons~~ le Comportement d'une machine à Courant Continu est entièrement en régime transitoire est entièrement déterminé par le système (2).

Les équations électriques et mécaniques forment un système d'équation différentielle non linéaire.

- Le Système sera linéaire si on suppose le flux induit constant ($i_f = C^{\text{st}}$) ou la vitesse est constante.

* ~~Méthode de la vitesse~~, à voir.

- Exemple : Démarrage d'un Moteur à Courant Continu à excitation

indépendante constante ($i_f = C^{\text{st}}$), quelle sont les lois

AN : de variations de $i_q(t)$ et $w(t)$.

$$R_q = 1 \Omega, L_q \text{ négligeable}, K_{qf} = M_{qf} \cdot i_f = 1 \text{ V} \cdot \text{rad}^{-1} \text{s}^{-1}$$

$$J = 1 \text{ kg m}^2, f = 0.02 \text{ N.m} \cdot \text{rad}^{-1} \text{s}^{-1}, U_q = 50 \text{ V}$$

Solut^e.

Le système (2) s'écrit alors

$$\left\{ \begin{array}{l} R_q \cdot i_q + K_{qf} \cdot w = U_q \end{array} \right.$$

$$\left\{ \begin{array}{l} K_{qf} \cdot i_q = J \frac{dw}{dt} + f \cdot w \end{array} \right.$$

en appliquant la Transformation de Laplace.

$$Rq Iq(p) + Kqf w(p) = \frac{Uq}{p}$$

$$-Kqf Iq(p) + (Jp + f)w(p) = 0$$

$$\begin{bmatrix} Rq & Kqf \\ -Kqf & Jp + f \end{bmatrix} \begin{bmatrix} Iq(p) \\ w(p) \end{bmatrix} = \begin{bmatrix} \frac{Uq}{p} \\ 0 \end{bmatrix}$$

$$\Rightarrow Iq(p) = \frac{\begin{vmatrix} \frac{Uq}{p} & Kqf \\ 0 & Jp + f \end{vmatrix}}{\begin{vmatrix} Rq & Kqf \\ -Kqf & Jp + f \end{vmatrix}} = \frac{Uq(Jp + f)}{p[RqJp + Rqf + Kq^2f]}$$
$$Iq(p) = \frac{Uq \cancel{J} (p + \frac{f}{J})}{p(p + \frac{f}{J} + \frac{Kq^2f}{RqJ})}$$

A.n

$$Iq(p) = \frac{50(p + 0.02)}{p(p + 1.02)}$$

$$w(p) = \frac{\begin{vmatrix} Rq & \frac{Uq}{p} \\ -Kqf & 0 \end{vmatrix}}{\begin{vmatrix} Rq & Kqf \\ -Kqf & Jp + f \end{vmatrix}} = \frac{Uq \cdot Kqf}{p[RqJp + RqJ + Kq^2f]}$$

$$w(p) = \frac{(Uq \cdot Kqf) / RqJ}{p(p + \frac{f}{J} + \frac{Kq^2f}{RqJ})}$$

A.n:

$$w(p) = \frac{50}{p(p + 1.02)}$$

$$Tl^{-1} \left\{ \begin{array}{l} i(t) = 1 + 49e^{-1.02t} \\ w(t) = 49(1 - e^{-1.02t}) \end{array} \right.$$

la vitesse $w(t)$ croît avec la constante de temps électrique:

$$Tm = \frac{1}{\frac{f}{J} + \frac{kq_f}{Rq_f}}$$

et la fonction de transfert sera alors:

$$\frac{w(p)}{Uq(p)} = \frac{K}{1 + Tmp}$$

La constante de temps électrique est négligée.
on aura alors le schéma bloc:



* Résolution du système non linéaire:-

- quand le courant d'excitation i_f ou la vitesse $w(t)$ n'est pas constante, le système devient non linéaire (ex: démarrage d'un moteur shunt). Parmi les méthodes de résolution, on cite:-

1°/ Linéarisation du système

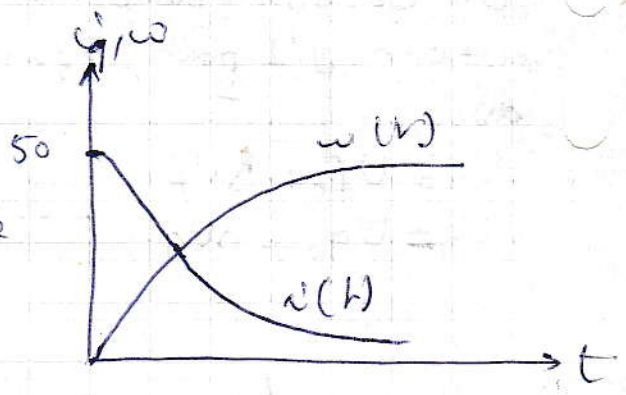
- Méthode de petites perturbations:-

Dans cette méthode, on ne considère que les variations des différentes grandeurs à partir d'une régime initial établi.

$$\left\{ \begin{array}{l} U_f = R_f i_f + L_f \frac{di_f}{dt} \\ U_q = R_q i_q + L_q \frac{di_q}{dt} + M_{qf} i_f \omega \end{array} \right.$$

$$M_{qf} \cdot i_f \cdot i_q = \frac{J}{J} \frac{d\omega}{dt} + C_r$$

(3)



On considère des petites variations ~~aut.~~ $\Delta(i_f, U_q, i_f^*, U_q^*, w, cr)$ autour d'un point d'équilibre $(U_{f0}, U_{q0}, i_{f0}, U_{q0}^*, w_0, cr_0)$.

avec :

$$\begin{aligned} U_f &= U_{f0} + \Delta U_f \\ U_q &= U_{q0} + \Delta U_q \\ i_f &= i_{f0} + \Delta i_f \\ i_f^* &= i_{f0}^* + \Delta i_f^* \\ U_q^* &= U_{q0}^* + \Delta U_q^* \end{aligned} \quad \text{--- (4)}$$

Remplaçons les expressions (4) dans (3), on obtient :

$$\begin{cases} U_{f0} + \Delta U_f = R_f (i_{f0} + \Delta i_f) + L_f \frac{d}{dt} (i_{f0} + \Delta i_f) \\ U_{q0} + \Delta U_q = R_q (U_{q0} + \Delta U_q) + L_q \frac{d}{dt} (U_{q0} + \Delta U_q) + M q_f (i_{f0} + \Delta i_f)(w_0 + \Delta w) \\ M q_f (i_{f0} + \Delta i_f)(U_{q0} + \Delta U_q) = J \frac{d}{dt} (\Delta w) + C_{cr} + \Delta C_r. \end{cases}$$

~~Recherche des équations de superposition~~

on néglige

Par la méthode de superposition, on a comme variables les variations $\Delta i_f, \Delta i_f^*, \Delta w$, et en plus on néglige les termes $\Delta i_f \times \Delta w, \Delta i_f^* \times \Delta i_f$.

Le système sera alors :

$$\begin{cases} \Delta U_f = R_f \cdot \Delta i_f + L_f \frac{d \Delta i_f}{dt} \\ \Delta U_q = R_q \Delta i_f + L_q \frac{d \Delta U_q}{dt} + M q_f (i_{f0} \Delta w + w_0 \Delta i_f) \\ M q_f (i_{f0} \cdot \Delta U_q + U_{q0} \cdot \Delta i_f) = J \frac{d}{dt} (\Delta w) + \Delta C_r \end{cases} \quad \text{--- (5)}$$

Le système (5) est alors linéaire et les variables finales permettent :

$$i_f = i_{f0} + \Delta i_f$$

$$U_q = U_{q0} + \Delta U_q$$

$$w = w_0 + \Delta w$$

2/ Utilisation de la méthode de Runge Kutta.

3/ Utilisation du Calculateur analogique pour l'interpolation du schéma bloc :-

- Considérons le cas où le flux d'inducteur varie suivant une courbe d'aimantation : -

$$\phi_f = f(i_f)$$

$$\begin{cases} U_f = R_f i_f + L_f \frac{di_f}{dt} \\ U_q = R_q i_q + L_q \frac{di_q}{dt} + e \\ C_e - C_r = \frac{J d\omega}{dt} + C_r \end{cases} \quad (6)$$

On a :

$$e = M q_f \cdot i_f \cdot \omega = K \phi_f \cdot \omega \quad (7)$$

$$C_e = M q_f \cdot \phi_f \cdot i_q = K \phi_f \cdot i_q$$

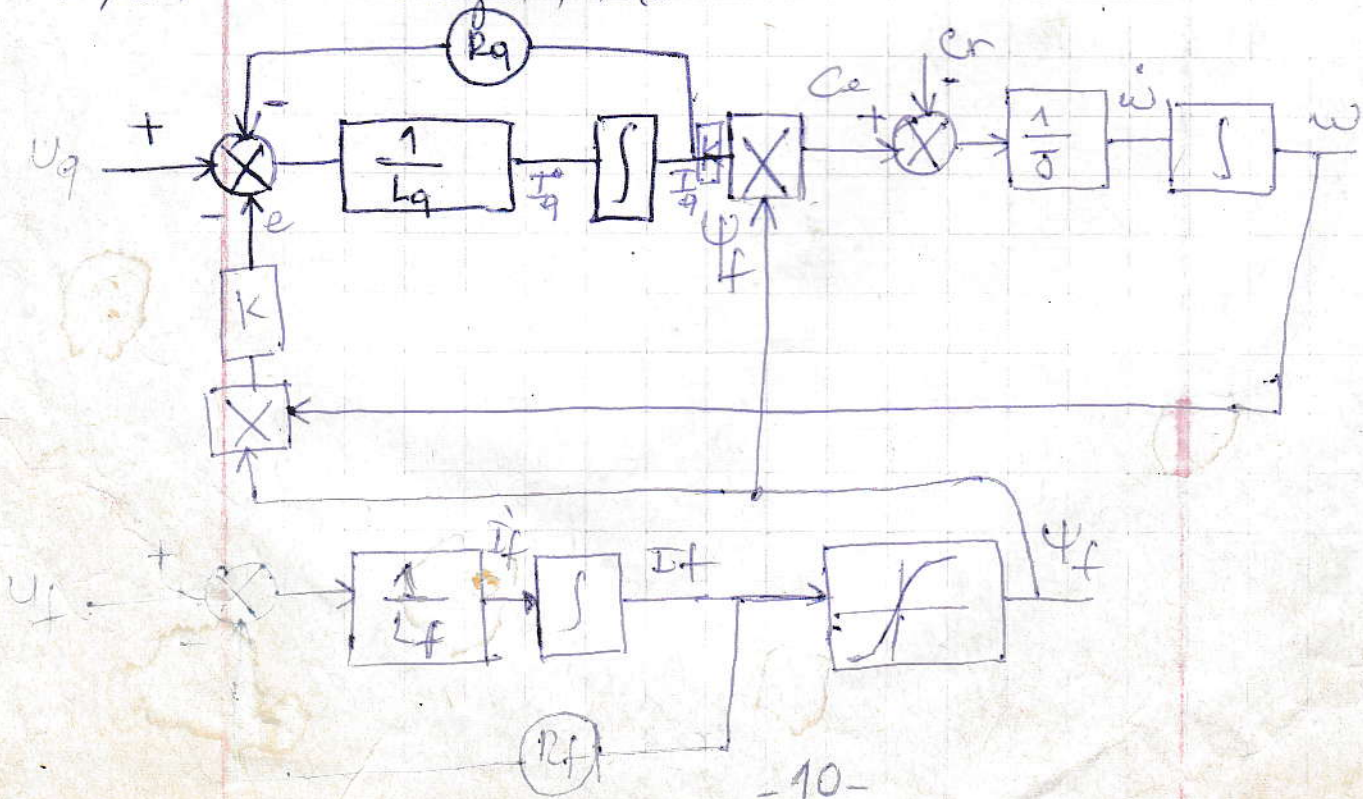
~~On a~~ - ~~de~~ de (6) et (7), on aura :

$$\frac{di_q}{dt} = \frac{U_q - e - R_q i_q}{L_q}$$

$$\frac{d\phi_f}{dt} = U_f - R_f \cdot i_f$$

$$\frac{d\omega}{dt} = \frac{K \phi_f i_q - C_r}{J}$$

d'où, on tire le diagramme structurel :



En utilisant et avec le diagramme structural ci-dessus, on peut étudier les dégâts transitoires malgré que le système est non linéaire.

10'